

## ارزیابی و بهبود عدم قطعیت‌های موجود در داده‌های رادار اهواز با تاکید بر کالیبراسیون رابطه Z-R

علی محمد آخوندعلی

گروه هیدرولوژی و منابع آب، دانشکده مهندسی علوم آب، دانشگاه شهید چمران اهواز

فریدون رادمنش

گروه هیدرولوژی و منابع آب، دانشکده مهندسی علوم آب، دانشگاه شهید چمران اهواز

سید یحیی میرزائی

دانشجوی دکتری گروه هیدرولوژی و منابع آب، دانشکده مهندسی علوم آب، دانشگاه شهید چمران اهواز

محمد رضا شریفی

گروه عمران، دانشگاه صنعتی جندی شاپور دزفول

تاریخ پذیرش: ۹۲/۱۰/۲۵

تاریخ دریافت: ۹۲/۰۶/۱۱

Yahya2010@yahoo.com

### چکیده

رادارهای هواشناسی توان اندازه‌گیری شدت بارش با تفکیک مکانی و زمانی مناسب را دارا می‌باشند. این ابزار بارش را به طور غیر مستقیم و با تبدیل داده‌های بازتابش رadar به شدت بارش، توسط یکتابع انتقال انجام می‌دهند. این تابع به عنوان رابطه  $Z = aRb$  و مبتنی بر استدلال نظری به فرم  $Z = aRb$  شناخته می‌شود. در این مطالعه با استفاده از روش‌ها مختلف کالیبراسیون، رابطه Z-R رادار اهواز برای بارش‌های رگبار، روزانه و میانگین روزانه کالیبره گردید. همچنین با بهره‌گیری از سیستم اطلاعات جغرافیایی GIS و معادلات ارتفاع نمونه برداری رadar، حداقل زاویه ارتفاعی رadar اهواز محاسبه شد. بر اساس نتایج آماری کلیه روش‌های کالیبراسیون روابط  $Z = 166R^2$  برای بارش رگبار،  $Z = 165R^{1.7}$  برای میانگین بارش روزانه و  $Z = 48R^2$  برای بارش روزانه، به عنوان معادلات بهینه از میان تمامی روش‌ها جهت تبدیل بازتابش رadar به بارش تعیین گردید. همچنین حداقل زاویه ارتفاعی آتن رadar جهت حذف کامل اثر برخورد پرتوی رadar با ارتفاعات، برابر با  $64^\circ 44'$  برآورد شد.

**کلمات کلیدی:** رadar هواشناسی اهواز، عدم قطعیت داده‌های رadar، زاویه ارتفاعی آتن رadar، GIS، کالیبراسیون رابطه Z-R

### مقدمه

ارسال موج الکترومغناطیسی، میزان بازگشت موج را پس از برخورد موج به قطرات آب باران اندازه‌گیری می‌کنند. این موج بازگشتی که با عنوان Z در مطالعات رadar شناخت می‌شود با یک تابع انتقال توانی، به عنوان تخمینی از مقادیر شدت بارش مورد استفاده می‌گیرد. مسلمًا استفاده از امواج الکترومغناطیس برای اندازه‌گیری غیر مستقیم بارش همواره با خطاهایی مواجه می‌باشد. خطاهای موجود در رادارهای هواشناسی را می‌توان به دو گروه کلی تقسیم کرد: خطاهای گروه اول مربوط به اندازه‌گیری قدرت موج الکترومغناطیس دریافتی بوده و عموماً ناشی از سخت افزار رadar و محدودیت‌های توپوگرافی می‌باشد که با تغییر در ابزار کنترلی رadar همچنین تغییر در زوایایی آتن قابل رفع می‌باشند. اما نوع دوم خطاهای رadar مربوط به ضرایب معادله تبدیل موج الکترومغناطیس دریافتی به بارش معادل (رابطه Z-R) می‌باشد که در فرایند تصحیح این ضرایب از داده‌های رadar به همراه داده‌های باران نگارهای زمینی همچنین ابزار اندازه‌گیری پراکنش قطر ذرات باران استفاده می‌گردد (Steiner et al 1999; Ulbrich and Miller, 2001; Lee and Zawadzki, 2006). فرایند بهبود خطای معادله Z-R به کالیبراسیون رadar معروف می‌باشد. با توجه به اینکه ضرایب این معادله به صورت پیش فرض به نرم افزارهای رadar اعمال می‌گردد. لذا به دلیل تفاوت‌های اقلیمی مناطق تحت پوشش رadar این ضرایب همواره نیاز به اصلاح دارند. بررسی مطالعات پیشین نشان می‌دهد در بازه زمانی سال‌های ۱۹۵۰ تا کون محققان زیادی در

بارش یکی از مهمترین مولفه‌های چرخه هیدرولوژی در طبیعت است که تمامی چرخه از آن متاثر می‌باشد. همواره کیفیت اندازه‌گیری داده‌های بارش به عنوان یکی از چالش‌های مهم در مطالعات منابع آب می‌باشد. زیرا به دلیل تنوعی شرایط اقلیمی و توپوگرافیکی همچنین محدودیت‌های اقتصادی ایجاد یک شبکه استاندارد با پوشش مناسب و دقت کافی در یک حوضه آبریز وجود ندارد. بر این اساس همواره محققان در پی استفاده از روش‌های مبتنی بر اندازه‌گیری غیر مستقیم بارش یا سنجش از دور بوده‌اند که با حفظ میزان دقت اندازه‌گیری، محدوده وسیعی را تحت پوشش خود قرار دهد. در چند دهه اخیر رadarهای هواشناسی پتانسیل زیادی برای بهبود کیفیت داده‌های بارش ایجاد نموده‌اند (Uijlenhoet, 2001; Gray and Larsen, 2004; Lombardo et al 2006; Uijlenhoet et al 2006). این ابزار قابلیت تولید داده‌های بارش با تفکیک مکانی کمتر از ۵۰۰ متر مربع و تفکیک زمانی زیر ۱۵ دقیقه را در سطح وسیع تا شعاع ۲۵۰ دارا بوده و به دلیل پوشش وسیعی مکانی معایب باران سنج ها را نداشته همچنین در مقایسه با ماهواره‌ها هزینه‌های اولیه پایین‌تری دارند (طوفانی نژاد، ۱۳۸۸). با توجه به ویژگی‌های مکانی و زمانی داده‌های رadar می‌توان از آنها در پیش‌بینی‌های کوتاه مدت و طویل مدت مدل‌های هیدرولوژیکی خصوصاً مدل‌های هیدرولوژیکی توزیعی استفاده کرد (Collier, 1996; Linsley et al 1988). بررسی مکانیسم کلی رadarهای هواشناسی نشان می‌دهد این ابزار با

این واحد جدید به نام  $dBZ$ ، مخفف دسی بل می‌باشد. مارشال و پالمر در سال ۱۹۴۸ نشان داد اگر اثرات باد، تلاطم و اثر متقابل قطره باران در یک بارش در نظر گرفته نشود می‌توان شدت باران  $R$  (برحسب میلی متر در ساعت) را با داشتن توزیع اندازه قطرات باران ( $D$ ) و سرعت سقوط ذرات به صورت زیر محاسبه کرد (رابطه ۷).

$$R = p_w \frac{\pi}{6} \int_0^{\infty} D^3 V(D) N(D) dD \quad \text{رابطه ۷}$$

مقایسه دو رابطه ۴ و ۷ نشان می‌دهد عامل توزیع اندازه قطرات باران در هر دو این روابط بر مقادیر  $Z$  و  $R$  متأثر است.

$$Z \propto D^6 \quad R \propto D^{3.7}$$

با توجه به وابستگی هر دو عامل به توزیع اندازه قطرات باران ( $N(D)$ ، یک رابطه غیر خطی بین میزان بارندگی و عامل بازتاب قابل تخمین می‌باشد)(رابطه ۸).

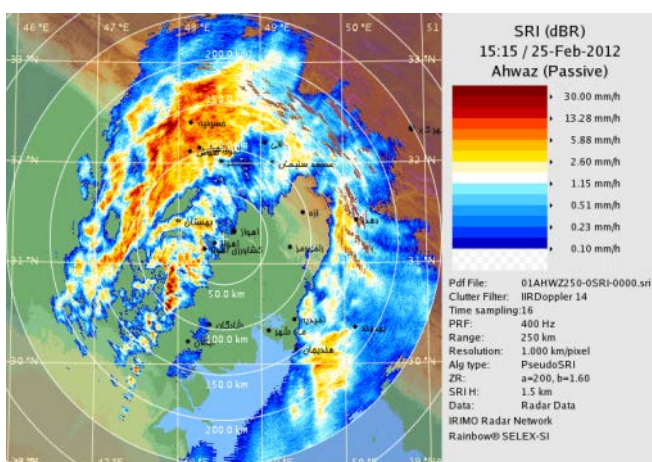
$$Z = A \cdot R^b \quad \text{رابطه ۸}$$

رابطه ۸ به نام رابطه Z-R نامیده می‌شود. در این رابطه  $a$  و  $b$  ضرایبی هستند که متناسب با شرایط اقلیمی و مکانی متغیر می‌باشند. بر اساس مطالعات مارشال و پالمر ۱۹۵۵ که بر روی طیف وسیعی از داده‌های رادار موجود در دنیا صورت گرفت، معادله  $Z = 200R^{1.6}$  بیشترین تطبیق را با شرایط اقلیمی میانگین مناطق مختلف دنیا نشان می‌دهد(Marshall, et al 1955). لذا این رابطه طی پنجاه سال گذشته یکی از پرکاربرد ترین معادله در بین هیدرولوژیست‌های رادار بوده است (Smith and Krajewski; 1993).

ماحصل اعمال رابطه Z-R در نرم افزار رادار های هواشناسی محصولی به نام شاخص شدت بارندگی سطحی یا SRI می باشد که بیشترین کاربرد را در مطالعات هیدرولوژیکی دارد. این شاخص شدت بارندگی را در یک ارتفاع ثابت از سطح زمین برحسب میلی متر بر ساعت برآورد می کند(شکل ۱).

### محدوده مورد مطالعه و جمع آوری داده ها

محدوده مورد مطالعه در این تحقیق محدوده عملیاتی رادار اهواز به شعاع ۲۵۰ کیلومتری از موقعیت رادار می‌باشد. این محدوده تقریباً تمام مراز جغرافیایی استان خوزستان را پوشش می‌دهد. رادار هواشناسی اهواز به عنوان اولین رادار هواشناسی کشور در ایستگاه کشاورزی ام الطمیر اهواز و در موقعیت جغرافیایی ۳۲° ۳۲' ۴۸° ۳۱' و ۱۴° ۳۱' واقع شده است. مشخصات عمومی رادار اهواز در (جدول ۱) آرائه گردیده است.



شکل ۱. نمونه ای از برآورد شاخص SRI در رادار اهواز

ارتباط با توسعه فناوری رادار و روش‌های بهبود کیفیت داده‌های بارش رادار فعالیت نموده‌اند. عموماً مطالعات اولیه رادار متمرکز بر تعیین روابط بازتابش رادار و توزیع اندازه ذرات باران می‌باشد که حاصل این مطالعات منجر به برآورد رابطه نمایی Z-R گردید (Marshall and Palmer, 1948) این رابطه تاکنون در بسیاری از مطالعات رادار دنیا مورد استفاده قرار گرفته است. استفاده از روش‌های آماری از جمله اصلاح ضریب اریبی و آماره RMSE جهت کاهش خطاهای موجود در رابطه Z-R در فرایند کالیسیون رادار در طیف وسیعی از مناطق دنیا مورد استفاده گرفته و باعث ایجاد توعیی از ضرایب معادله Steiner et al., 1999; Uijlenhoeve, 2001; Seed et al 2002; Mapiam, 2008; Ramli, 2011 مختلف گردید (Mapiam, 2008; Ramli, 2011) همچنین اصلاح خطاهای ناشی از کلاتر زمین و پرتوهای مسدود شده بر روی داده‌های بارش رادار و بررسی اثرات توبوگرافیکی محل استقرار رادار و محدوده تاثیر رادار از دیگر مطالعات انجام شده بر روی رادارهای هواشناسی می‌باشد (طوفانی نژاد (۱۳۸۸)). لذا در این پژوهش سعی شده تا با بررسی و اصلاح برخی از عوامل تاثیرگذار بر رادار از جمله زاویه ارتفاعی آتن و ضرایب معادله تبدیل Z-R قطعیت داده‌های رادار اهواز جهت استفاده در سایر مطالعات افزایش یابد.

### معادلات رادار

mekanisim کلی تمامی رادار هواشناسی شامل ارسال موج الکترومغناطیس و تحلیل موج برگشتی پس از برخورد به هدف می‌باشد. قدرت موج الکترومغناطیس دریافتی تابعی از  $\sigma$ ، سطح مقطع موج برگشتی از هدف،  $\lambda$  طول موج،  $P_t$  قدرت موج الکترومغناطیسی ارسالی و  $g$  قدرت گیرنده آتن رادار می‌باشد(رابطه ۱)

$$P_r = \frac{P_t g^2 \lambda^2 \theta_0^2 h}{1024 \ln(2) \pi^2 r^2} \sum_{Vol} \sigma_i \quad \text{رابطه ۱}$$

در صورتیکه اندازه ذرات موجود در مسیر موج رادار از طول موج رادار کوچک تر باشد،  $\sigma_i$  متناسب با توان ششم قطر خواهد بود(رابطه ۲)

$$\sigma_i = \frac{\pi^5}{\lambda^4} |K|^2 D_i^6 \quad \text{رابطه ۲}$$

در این معادله  $K$  ثابت دی الکتریک آب و  $D$  قطر ذرات می‌باشد. بررسی توزیع اندازه قطرات باران در حجم نمونه رادار نشان می‌دهد این مقدار برابر با مجموع توان ششم قطر ذرات باران می‌باشد که به آن فاکتور بازتابش رادار نیز گفته می‌شود(رابطه ۳)

$$Z = \sum_{Vol} D_i^6 \frac{mm^6}{m^3} \quad \text{واحد ۳} \quad \text{رابطه ۳}$$

$$Z = \int_0^{\infty} N(D) \cdot D^6 dD \quad \text{رابطه ۴}$$

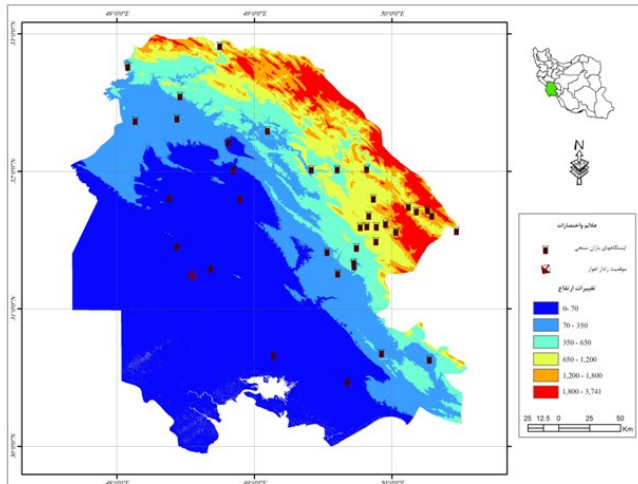
در این رابطه  $N(D)dD$  نشان دهنده متوسط تعداد قطرات باران با قطرهای کروی به ازای هر واحد حجم هوا است. با جایگزینی روابط فوق در رابطه ۱ مشخص می‌گردد قدرت موج دریافتی متأثر از فاکتور بازتابش رادار همچنین فاصله ذره تا رادار می‌باشد(رابطه ۵)

$$\bar{P}_r = C \frac{|K|^2}{r^2} Z \quad \text{رابطه ۵}$$

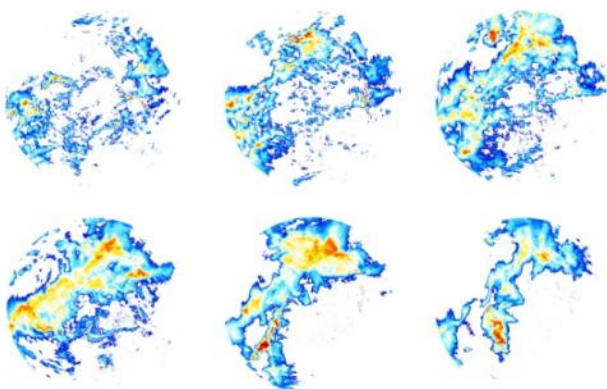
بر اساس رابطه ۵ تمام خواص رادار در ضریب  $C$  و تمام خواص قطرات باران در  $K$  و  $Z$  نهفته می‌باشد. استفاده از فاکتور بازتاب رادار  $Z$  به دلیل مقدار سیار بزرگ آن، راحت نبوده. لذا با استفاده از مقیاس لگاریتمی به جای مقیاس خطی معادله  $Z$  به شکل زیر تغییر می‌یابد. Battan (1973)

$$Z_{Log} = 10 \cdot \log \left( \frac{Z_{Linear}}{L mm^6/m^3} \right) \quad \text{رابطه ۶}$$

شاخص های CCPPI و SRI بر مبنای  $Z = 200R^{1.6}$  تبدیل گردید(شکل ۴) و در نهایت با توجه به موقعیت ایستگاههای بارانگار مقادیر متناظر هر بارش ۱۵ دقیقه از روی تصویر رadar استخراج و در مجموع ۵۵۰۰ داده بارش رadar با تفکیک ۱۵ دقیقه تولید گردید.



شکل ۳. نقشه محدوده مطالعاتی تغییرات ارتفاعی و موقعیت بارانگارهای مورد استفاده



شکل ۴. داده‌های توزیعی بارش رadar اهواز در بارش ۲۰/۱۱/۱۱/۱۹

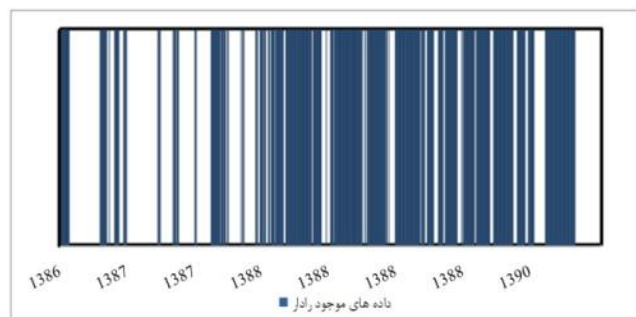
### عدم قطعیت در تخمین بارش رadar

پوشش وسیع ناحیه ای، قدرت تفکیک مکانی و زمانی مناسب بخشی از مزایای رادارهای هواشناسی می‌باشد که باعث شده این ابزارها مورد توجه محققان هیدرولوژی قرار گیرد. اما همواره در بهره‌گیری از رadar باید مزایای آنها در کنار خطاهای موجود در آنها مورد بررسی قرار گیرد زیرا عدم توجه و شناخت کافی از خطاهای و عوامل ایجاد کننده آنها باعث افزایش عدم قطعیت در داده‌های بارش برآورده شده با این ابزار خواهد شد (Kitchen et al, 1994; Anagnostou et al, 1999; Vignal et al, 2001; Brandes et al, 2004; Holleman, 2007). به طور کلی می‌توان خطاهای موجود در رادارهای هواشناسی را به دو مجموعه کلی شامل: خطاهایی موجود در فرایند اندازه گیری بازتابش و خطاهای موجود در فرایند تبدیل مقادیر بازتابش به شدت بارش تفکیک کرد (Jordan, 2000).

جدول ۱. مشخصات رadar اهواز

مشخصات رadar اهواز	
موقعیت جغرافیایی	اهواز - ام طمیر
مدل رadar	Metero 1500s
آلمان	کشور سازند
S (توصیه شده برای بارش های رگباری).	باند فرکانس رadar
۷۵۰ کیلومتر	توان ارسالی رadar
۲۴ متر	ارتفاع رadar
۲۵۰ کیلومتر ساعی	برد آتن
۱۱/۶۵ ۸/۵ متر	قطر آتن و گند
۰ تا ۳۶۰ درجه	زاویه چرخش افقی
۰-۹۰ درجه	زاویه چرخش عمودی
۲/۹-۲/۷ گیگاهرتز	فرکانس عملیاتی
کلی ستورن مدل TXS 1500	فرستنده رadar اهواز
پردازشگر دیجیتالی مدل Aspen DRX	پردازشگر دیجیتال سیگنال
Gematronik Rainbow5 شرکت	نرم افزار رadar

جهت انجام این تحقیق از دو گروه داده ها شامل: داده‌های بارش ایستگاههای مجهز به بارانگار و داده‌های بازتابش رadar هواشناسی اهواز استفاده گردید. داده‌های بازتابش رadar اهواز در بازه زمانی سال های ۲۰۰۷ الی ۲۰۱۲ با تفکیک مکانی ۵۰۰\* ۵۰۰ متر و تفکیک زمانی ۱۵ دقیقه ای در قالب اسکن حجمی اتمسفر با فرمت Raw Data از سازمان هواشناسی کل کشور اخذ گردید. (شکل ۲) وضعيت کمی داده‌های رadar اهواز را نمایش می دهد.

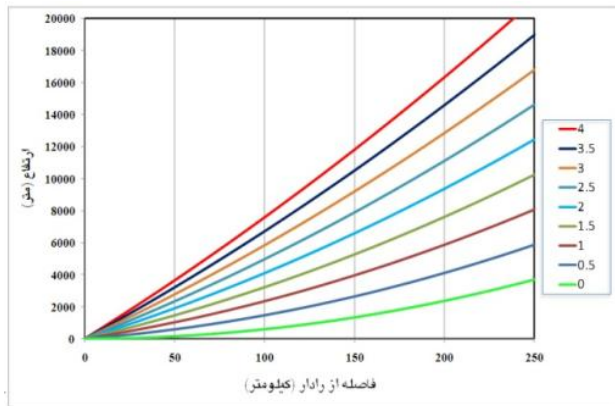


شکل ۲. وضعیت کمی داده‌های رadar اهواز

بر اساس پیاده سازی موقعیت ایستگاه باران نگار وزارت نیرو در محدوده تائیر رadar(شکل ۳)، ایستگاههای ایدنک، رکعت نعل کنان، سد شهید عباسپور، ایده، سد کارون ۳، پاچچی رامهرمز، باغ ملک، بارانگرد، کارون ۴، دلی بختیار، پای پل، جلوگیر، سد شهدا بهبهان، سوسن، عبدالخان، کمب جراحی، دهملا، اهواز، عرب حسن اسد، شوستر، اندیکا(تنگ دولاب)، گتوند، سد دز، لالی-بند سرخی و سد تنظیمی ذرفول انتخاب و در بازه زمانی مشابه با بازه زمانی داده‌های رadar، داده‌هایی بارش ثبت شده در این ایستگاهها اخذ گردید. این داده شامل مقادیر رگبارهایی ثبت شده با تفکیک زمانی ۱۵ دقیقه ای می‌باشند. پس از اخذ داده‌های بارانگار و رadar، کلیه داده‌های بر اساس زمان وقوع و متناظر با رگبارهای بارانگاری انتخاب شد. سپس داده‌های خام ۳۹ رخداد رگبار برای ۲۵ ایستگاه بارانگاری انتخاب شد. سپس داده‌های خام رadar متناظر با رگبارهای انتخابی با استفاده از نرم افزار Rainbow5 به

## بهبود خطاهای رادار اهواز در فرایند اندازه گیری بازتابش

بررسی عوامل ایجاد کنند خطای در فرایند اندازه گیری بازتابش رادار اهواز نشان می دهد پدیده میرایی موج در رادار های باند S با فرکانس عملیاتی ۲/۹-۲/۷ گیگاهرتز تاثیر چندانی ندارد (Hildebrand 1978) براین اساس رادار اهواز با خطاهای مربوط به میرایی موج مواجه نمی باشد. اما از میان خطاهای موجود خطای نمونه برداری ارتفاعی و خطاهای حاصل از برخورد پرتو به زمین (پدیده کلاتر زمین، انتشار ناهنجار پرتو و پرتو های مسدود شده) که حاصل تغییرات زاویه ارتفاعی آتن می باشند به عنوان مهمترین عوامل ایجاد کننده خطای محسوب می گردد. در رادارهای هواشناسی مقادیر زاویه ارتفاعی آتن در محاسبات هیدرولوژیکی به صورت پیش فرض در بازه ۰/۵ الی ۲/۵ تنظیم می گردد. لذا لازم است زاویه ارتفاعی مناسب برای هر ایستگاه رادار به صورت اختصاصی و متناسب با موقعیت رادار و تغییرات ارتفاعی منطقه محاسبه و به رادار اعمال گردد. در همین راستا مقادیر تغییرات ارتفاعی پرتوی رادار اهواز با استفاده از رابطه ۹ و در زوایای ارتفاعی صفر تا ۴ درجه و در محدوده برد رادار (۰ الی ۲۵ کیلومتر) محاسبه و نمودار آن ترسیم گردید (شکل ۵).



شکل ۵. تغییرات ارتفاعی پرتوی رادار اهواز در زوایای ۰ الی ۴ درجه

براساس نتایج افزایش فاصله از رادار اهواز به همراه افزایش زاویه ارتفاعی باعث افزایش ارتفاع پرتو رادار شده است این افزایش ارتفاع برای ایستگاه های رادار واقع شده در مجاورت ارتفاعات از جمله رادار اهواز بسیار مناسب می باشد زیرا در این مناطق با فاصله گرفتن از بخش های مسطح به تدریج ارتفاع روندی افزایشی به خود گرفته و این افزایش می تواند منطبق بر روند افزایشی پرتو رادار در یکی از زوایای ارتفاعی باشد و باعث کاهش احتمال برخورد پرتو رادار با ارتفاعات گردد. استراتژی اساسی برای تعیین زاویه ارتفاعی رادار اهواز حذف کامل و یا به حداقل رسیدن خطاهای حاصل از برخورد پرتو رادار با ارتفاعات (پدیده کلاتر زمین و پرتو های مسدود شده) و از طرفی حلول گیری از افزایش ارتفاع نمونه برداری رادار می باشد. در این راستا ابتدا نقشه رقومی ارتفاع استان خوزستان با استفاده از نرم افزار ArcGIS تولید و با توجه به پراکنش ارتفاعات منطقه در راستای های آزیموتی ۳۴۵ تا ۱۲۵ درجه (فاصل ۵ درجه) شبکه ای شامل ۳۱ پروفیل ارتفاعی به مرکزیت رادار اهواز تعیین گردید (شکل ۶).

## خطاهای موجود در فرایند اندازه گیری بازتابش رادار

### خطای میرایی پرتو رادار

قدرت پرتو رادار با ارتعاش ذرات موجود در اتمسفر و جذب توسط آب ضعیف می شود. حساسیت پرتوی رادار به میرایی بستگی به طول موج ارسالی توسط رادار و شدت بارش دارد. به طور کلی، پدیده میرایی موج برای رادارهای باند X و C به ترتیب مشکلات شدیدی ایجاد می کند اما این پدیده در مورد رادارهای باند S به دلیل طول موج این رادارها مشکل خاصی ایجاد نماید. این پدیده ممکن است در اثر پوشش محافظ رادار نیز صورت گیرد که در شرایط مختلف بارش اثر این پوشش بر میرایی موج رادار تغییر می کند (Hitschfeld, 1954).

### خطای ارتفاع نمونه بردار

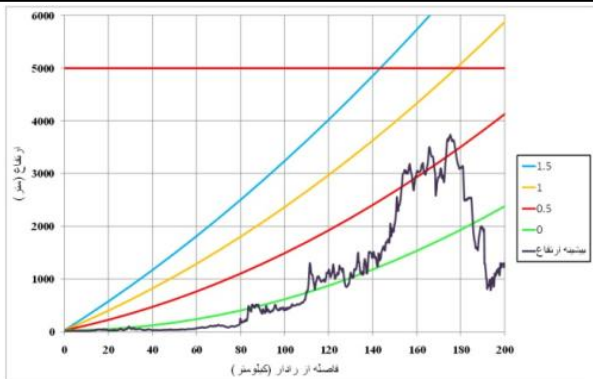
ارتفاع پرتو رادار متاثر از زاویه ارتفاعی آتن همچنین انحنای کره زمین و انکسار پرتوی رادار توسط جو افزایش می یابد (Doviak and Zrnic, 1984). براین اساس، رادارها شدت بارش را در سطوحی بالاتر از سطح زمین تخمین می زند و میزان بارش تخمین زده شده توسط رادار متاثر از عواملی چون وجود قطعات بیخ در تراز بالای اتمسفر، رشد قطرات باران، تبخیر قطرات در مسیر سقوط و وجود تلاطمات بالا روند و افقی با میزان بارش باران برآورد شده در سطح زمین متفاوت می باشد (Austin, 1984). این خطای با کاهش زاویه ارتفاعی رادار قابل کاهش می باشد اما کاهش بیش از حد زاویه ارتفاعی آتن باعث برخورد پرتو رادار با ارتفاعات و ایجاد پدیده کلاتر زمین خواهد شد (Kitchen, 1994). جهت تعیین زاویه ارتفاع آتن همچنین ارتفاع پرتو رادار در زوایای مختلف می توان از رابطه ۹ استفاده کرد.

$$h = \sqrt{r^2 + (k_e R_e)^2} + 2rk_e R_e \sin\theta - k_e R_e \quad (9)$$

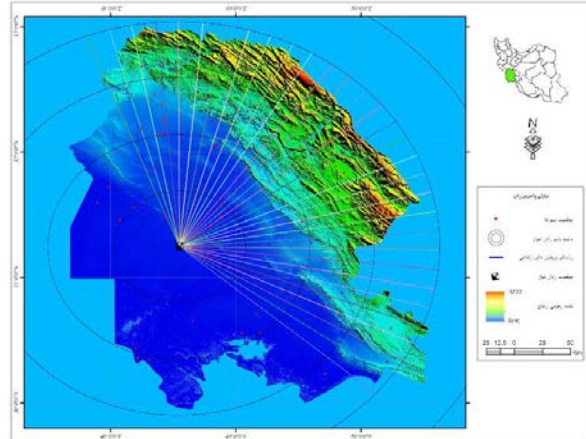
در این رابطه  $r$  فاصله به رادار،  $\theta$  زاویه ارتفاعی پرتوی رادار،  $R_e$  شعاع کره زمین و  $k_e$  مقدار ثابت مربوط به شکست پرتوی رادار در اتمسفر می باشد.

### خطای پرتو های مسدود شده رادار

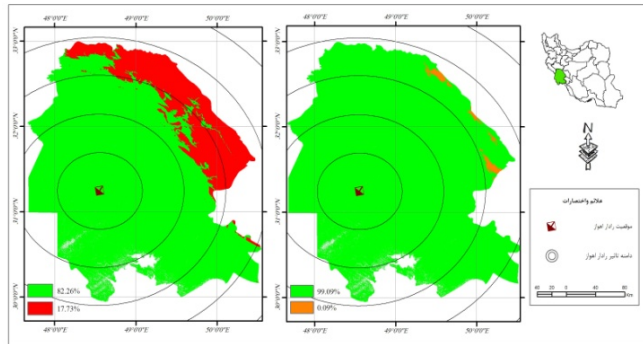
برخورد پرتو رادار به اشیاء ثابت سطح زمین به عنوان یکی از عوامل ایجاد خطای رادار محسوب می شود. این اثر بسته به عامل ایجاد کننده خود با عنوانین مختلفی از جمله کلاتر زمین (Ground clutter)، انتشار ناهنجار پرتو (Beam blocking) و پرتوهای مسدود شده (Anomalous propagation) (Kitchen, 1994). پدیده کلاتر زمین زمانی رخ می دهد که در پخش از پرتو رادار با زاویه ارتفاعی پائین به زمین های مرتفع برخورد کنند که در این صورت بخش قابل ملاحظه ای از موج به آتن برگشت می کند. انتشار ناهنجار پرتو حاصل شکست پرتو رادار و انحنای آن به سمت زمین به دلیل تفاوت در چگالی لایه ای اتمسفری می باشد (Van Vleck, 1947). پرتوی رادار در برخورد با زمین به طور کامل و یا بخش از آن مسدود می گردد. این پدیده باعث کاهش قدرت موج برگشتی و خطای در برآورد بارش می گردد. کلاتر زمین، انتشار غیر عادی و پرتوهای مسدود شده توسط استراتژی های نسبتاً ساده می تواند به طور قابل ملاحظه ای کاهش و یا حذف گردد، برای مثال می توان با آن گونه خطای زاویه ارتفاعی پرتوی رادار بخش عمدی ای از این گونه خطای را حذف کرد اما افزایش زاویه ارتفاعی پرتوی رادار ممکن است باعث افزایش خطاهای مربوط به ارتفاع نمونه برداری گردد (Andrieu, 1997; Gabella, 1998). بنابراین تعیین بهینه زاویه ارتفاعی یکی از عوامل مهم در کاهش خطای رادار می باشد.



شکل ۸. اعمال پروفیل های ارتفاعی بیشینه بر نمودار زوایای ارتفاعی آنتن رادار اهواز



شکل ۶. راستای انتخابی جهت تهیه پروفیل ارتفاعی از منطقه



شکل ۹. نقشه مناطق متأثر از انسداد پرتوها رادار در زوایای ارتفاعی صفر (تصویر چپ) و زاویه ۰/۵ درجه (تصویر راست)

بر این اساس جهت انتخاب زاویه ارتفاعی مناسب جهت حذف کامل پرتو های مسدود شده مقادیر ارتفاع و فاصله از رادار در تمامی پیک های بالاتر از زاویه ارتفاعی ۰/۵ درجه تعیین و با استفاده از معادله Doviak and Zrnic 1984 مقدار زاویه ارتفاعی برای فواصل ۰ الی ۲۵۰ کیلومتری از رادار محاسبه گردید(جدول ۲)

جدول ۲. مشخصات پیک های بالاتر از زاویه ارتفاعی ۰/۵

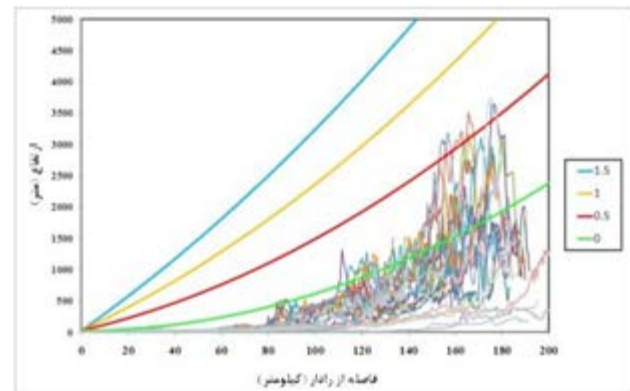
	فاصله(مترا)	ارتفاع(مترا)	زاویه ارتفاعی
۱ پیک	۱۷۵۱۰۰	۳۷۴۰/۲۶۱	۰/۶۲۵
۲ پیک	۱۶۵۸۶۰	۳۵۰۹/۲۱۰	۰/۶۴۴
۳ پیک	۱۵۶۸۷۰	۳۱۸۶/۳۸۸	۰/۶۲۵

با بررسی زوایای ارتفاعی حاصله و اعمال آنها بر نمودار ارتفاعی منطقه، زاویه ارتفاعی ۰/۶۴۴ به عنوان زاویه حداقل بهینه جهت حذف کامل پدیده پرتو های مسدود شده برآورد گردید(شکل ۱۰). بررسی زوایای ارتفاعی صفر، ۰/۵ و ۰/۶۴۴ درجه نشان می دهد تزار نمونه برداری رادار در این زوایا به ترتیب ۵۳۶، ۱۴۹۷ و ۱۷۷۳ متر بالاتر از میانگین ارتفاع منطقه می باشد(جدول ۳).

جدول ۳. مشخصات زوایای ارتفاعی صفر الی ۰/۶۴ رادار اهواز

	زاویه ارتفاعی	۰/۵	۰/۶۴	میانگین ارتفاع نمونه گیری(مترا)
درصد محدوده پرتوی های مسدود شده	.	۰/۹	۱۷/۷۴	۱۷۷۳/۸۹
درصد محدوده بدون تاثیر	۱۰۰	۹۹/۱۰	۸۲/۲۶	۱۴۹۷/۲۱

سپس با استفاده از نرم افزار Golobal maper تغییرات ارتفاعی در راستای این ۳۱ پروفیل برآورده و نمودار این تغییرات بر نمودار تغییرات زوایه ارتفاعی آنتن رادار اعمال گردید (شکل ۷) و در نهایت جهت تهیه نمودار ارتفاعی بیشینه، مقادیر حداکثر ارتفاع تمامی پروفیل ها در فواصل طولی مشخص از رادار محاسبه و مقادیر حاصله به عنوان تغییرات بیشینه ارتفاع منطقه در مقابل فاصله از رادار ترسیم گردید (شکل ۸)



شکل ۷. اعمال پروفیل های ارتفاعی بر نمودار زوایای ارتفاعی آنتن رادار اهواز

بررسی (شکل ۸) نشان می دهد پرتوی رادار در دو زاویه ارتفاعی صفر و ۰/۵ درجه با پروفیل ارتفاعی بیشینه برخود داشته و این موضع بدین معنی است که در این زوایا رادار اهواز با پدیده پرتوهای مسدود شده رادار مواجه و تخمين پدیده های هواشناسی و هیدرولوژیکی در این زوایا با خطا همراه می باشد. جهت تعیین محدوده و درصد مناطق متأثر از این پدیده، مقادیر ارتفاع و فاصله از رادار در محل برخورد تعیین و با استفاده از نرم افزار GIS و مدل رقومی ارتفاع استان، موقعیت و درصد مناطق متأثر از پرتوهای مسدود شده تعیین گردید(شکل ۹ و جدول ۳).

نتایج نشان می دهد در زاویه ارتفاعی صفر درجه بیش از ۱۷/۷۴ درصد از ارتفاعات استان خوزستان باعث مسدود شدن پرتو رادار خواهند شد و این مقدار در زاویه ارتفاعی ۰/۵ درجه به کمتر از ۱ درصد کاهش پیدا می کند.

et al 1999). لذا جهت کاهش محاسبات، در روش نموداری مقادیر پارامتر b ثابت و برابر با  $1/6$  فرض و رابطه نهایی در این روش به صورت:

$$Z = \frac{a_0}{m^b} R^b \quad 11$$

بیان می‌گردد (Seed et al 2002). جهت انجام کالیبراسیون به روش نموداری از داده‌های ۳۹ رگبار (با تفکیک زمانی ۱۵ دقیقه) در ۲۵ ایستگاه بارانسنجی مجهر به باران‌نگار همچنین داده‌های بارش رadar محاسبه شده با معادله پیش فرض  $Z = 200R^{1.6}$  استفاده شد. پس از پیاده سازی داده‌ها و برآش خط رگرسیونی مقدار شیب این خط برابر با  $0.6671x + 0.64971$  (شکل ۱۱). با اعمال مقدار شیب خط رگرسیونی مطابق رابطه ۱۱ بر پارامتر a رابطه  $Z-R$  به شکل زیر اصلاح گردید.

$$Z = 382.23R^{1.6} \quad 12$$

پس از اصلاح رابطه، مقادیر بارش رadar با معادله جدید محاسبه و نمودار پراکنش داده‌های رadar در مقابل داده‌های ایستگاه‌های بارانسنجی ترسیم گردید. نمودار نشان می‌دهد شیب خط رگرسیونی برآش شده بر این داده‌ها برابر ۱ و منطبق بر خط ۴۵ درجه است (شکل ۱۲) که نشان دهنده بهبود داده‌های بارش رadar می‌باشد. جهت بررسی دقیق‌تر نتایج و مقایسه آن با رابطه پیش فرض رadar از آماره‌های خطا شامل میانگین خطا، میانگین مطلق خطا و ریشه میانگین مربع خطا استفاده گردید (جدول ۴).

$$ME = \frac{1}{n} \sum_{i=1}^n (R_i - G_i) \quad 13$$

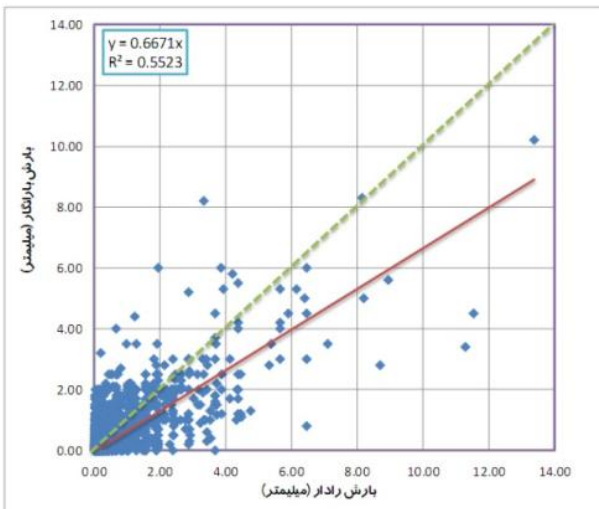
میانگین مطلق خطای

$$MAE = \frac{1}{n} \sum_{i=1}^n |(R_i - G_i)| \quad 14$$

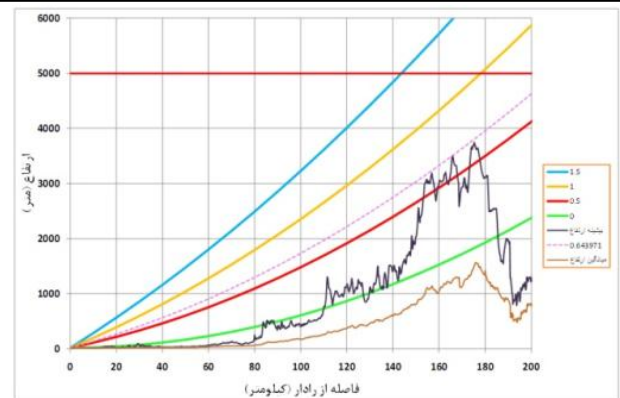
ریشه میانگین مربع خطا

$$RMSE = \sqrt{\frac{1}{n} \sum_{i=1}^n (R_i - G_i)^2} \quad 15$$

بررسی آماره‌های خطا نشان می‌دهد استفاده از روش نموداری در داده‌های رگبار باعث بهبود خطای RMSE داده‌های رadar محاسبه شده با رابطه جدید در مقایسه با رابطه پیش فرض رadar شده است.



شکل ۱۱. پراکنش داده‌ای بارش رadar در مقابل داده‌های بارش ایستگاه‌های زمینی (بر مبنای  $Z = 200R^{1.6}$ )



شکل ۱۰. زاویه ارتفاعی بهینه جهت حذف پدیده پرتوهای مسدود شده

#### خطاهای فرایند تبدیل بازتابش به شدت بارش

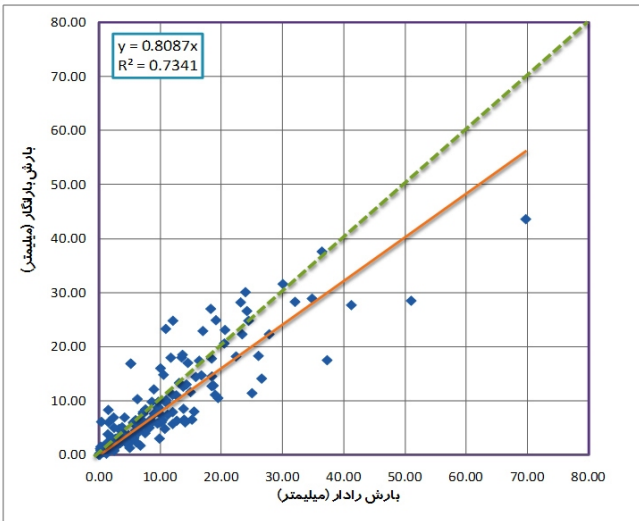
رادارها اندازه‌گیری شدت بارش را به طور غیر مستقیم و با استفاده ازتابع تبدیل بازتابش رadar به شدت بارش انجام می‌دهند. این تابع تبدیل با عنوان رابطه  $Z-R$  و مبتنی بر استدلال نظری به فرم  $Z = aRb$  (بیان می‌شود) Seed et al 2002). پارامترهای رابطه  $Z-R$  بسته به توزیع اندازه و سرعت قطرات باران متغیرمی‌باشد. بنابراین با توجه به تنوع بارش‌ها، برای برآورد دقیق مقدار بارش توسط رadar، نیاز به یک رابطه پویا  $Z-R$  با ضرایب متغیر  $a$  و  $b$  می‌باشد. عموماً در اکثر ایستگاه‌های رadar از جمله رadar اهواز از ضرایب محاسباتی پیش فرض مارشال - پالمر ۱۹۵۵ برای تابع تبدیل استفاده می‌گردد ( $Z = 200R^{1.6}$ ). استفاده از این تابع بنا به شرایط اقلیمی محدوده رadar، احتمال ایجاد خطای داده‌های بارش محاسباتی را افزایش می‌دهد. براین اساس لازم است این ضرایب متناسب با شرایط اقلیمی هر رadar اصلاح گردد. به طور کلی جهت کالیبراسیون ضرایب رadar سه روش توسط محققان توصیه شده است که شامل: روش توزیع اندازه قطرات باران (DSD)، روش‌های آماری (TMM) و روش تطبیق احتمالاتی (PMM) می‌باشند. از میان روش‌های مذکور روش‌های آماری بیش از سایر روش‌ها مورد توجه محققان رadar می‌باشد زیرا در این روش از داده‌های باران سنج‌های ثبات موجود در محدوده رadarها استفاده می‌گردد و نیاز به تولید داده جدید نمی‌باشد. روش‌های آماری کالیبراسیون رadar نیز خود شامل سه روش: نموداری، روش تعديل ضریب اریبی (Bias) و روش حداقل مجدد مربعات خطای (RMSE) می‌باشند که در روش‌های نموداری و تعديل ضریب اریبی پارامتر  $b$  ثابت ولی در روش حداقل مربعات خطای روابط بهینه بر اساس تغییر در هر دو پارامتر معادله  $Z-R$  برآورد می‌گردد.

#### کالیبراسیون به روش نموداری

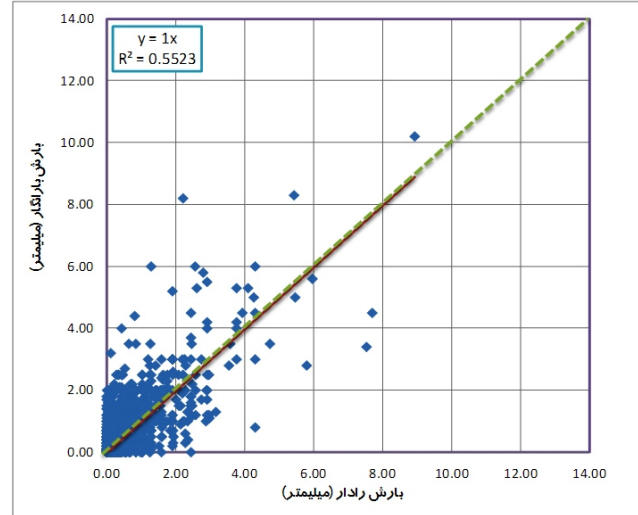
کالیبراسیون نموداری رadar براساس ترسیم نمودار پراکنش داده‌های بارش برآورد شده از رadar و باران سنج‌ها و برآش خط رگرسیونی بر این نمودار می‌باشد. در این روش مقادیر شیب خط برآش شده تخمین و با استفاده از رابطه  $10 \cdot \text{ضریب جدید برای پارامتر } a \text{ محاسبه می‌گردد.}$

$$a_1 = \frac{a_0}{m^b} \quad 10$$

در این رابطه  $a_1$  مقدار تصحیح شده پارامتر  $a$  (radar)،  $a_0$  مقدار اولیه پارامتر  $a$  و شیب خط برآش شده بر داده‌های باران سنج‌ها و باران حاصل شده از رابطه اولیه  $Z-R$  می‌باشد. نتایج بررسی سیاری از محققان نشان می‌دهد مقادیر پارامتر  $b$  در فرایند کالیبراسیون نیاز به تغییراتی مشابه پارامتر  $a$  ندارد (Steiner

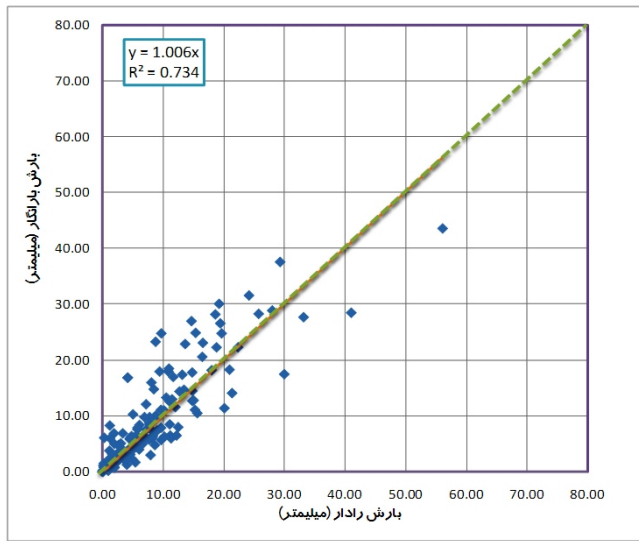


شکل ۱۳. پراکنش داده‌های بارش روزانه رادار در مقابل داده‌های بارش ایستگاه‌های زمینی  
برمبانی  $Z = 200R^{1.6}$

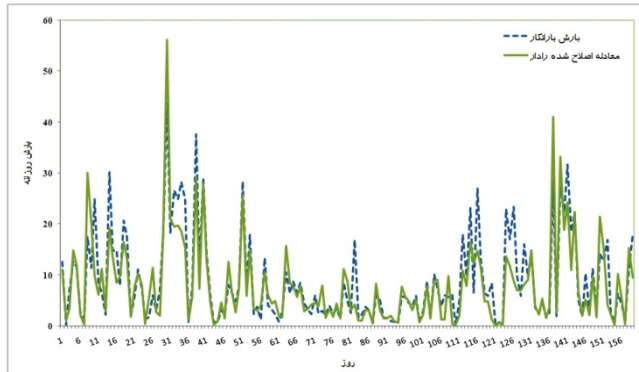


شکل ۱۴. پراکنش داده‌های بارش رادار اصلاح شده در مقابل داده‌های بارش ایستگاه زمینی  
برمبانی  $Z = 382.23R^{1.6}$

جدول ۴. مقادیر آماره‌های خطای معادله پیش فرض و معادله کالیبیره شده



شکل ۱۴. پراکنش داده‌های بارش روزانه رادار در مقابل داده‌های بارش ایستگاه زمینی  
برمبانی  $Z = 281R^{1.6}$



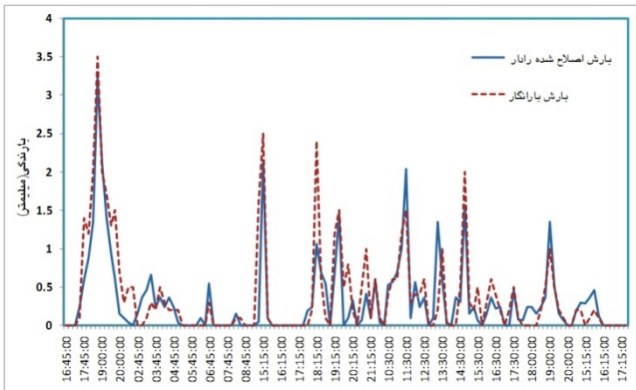
شکل ۱۵. تغییرات روزانه بارش ایستگاه‌های زمینی و بارش رادار با استفاده از رابطه  
 $Z = 281R^{1.6}$  به روش نموداری

پارامترهای آماری	$Z = 200R^{1.6}$	$Z = 382.23R^{1.6}$
ME	-0.47	-0.87
MAE	0.251	0.219
RMSE	0.441	0.447
MBE	0.88	1.32

به دلیل اینکه ارتفاع اندازه‌گیری رادار به طور معمول ۱ تا ۲ کیلومتر بالاتر از سطح زمین می‌باشد ممکن قدرات سنجش شده توسط رادار در این ارتفاع پس از ۵ تا ۱۰ دقیقه در باران‌سنج سقوط کنند. بنابراین ارتفاع و تلاطمات باد در اتمسفر می‌تواند تاثیر زیادی بر تفاوت داده‌های رادار و باران‌سنج ها ایجاد نماید. براین اساس برای بهبود مقایسه می‌توان از متوسط مکانی و زمانی داده‌ها نیز جهت کالیبراسیون استفاده کرد. به طور معمول علاوه بر داده‌های رگبار، داده‌های تجمعی از اطلاعات رادار و سایر سنجنده‌های بارش برای کالیبراسیون نیز مورد استفاده قرار می‌گیرند. بر این اساس علاوه بر داده‌های رگبار (تفکیک زمانی ۱۵ دقیقه) از داده‌های بارش روزانه و داده‌های میانگین روزانه نیز جهت کالیبراسیون رادار اهواء استفاده گردید. پس از ترسیم نمودار پراکنش داده‌های بارش روزانه در مقابل بارش رادار، مقدار شبیه خط رگرسیونی برای این داده‌ها برابر ۰/۸۰۸ بروارد گردید (شکل ۱۳). با اعمال مقدار شبیه بر رابطه ۱۱ معادله جدید  $Z-R$  برای این داده‌های به صورت  $Z = 281R^{1.6}$  اصلاح و نمودار پراکنش آنها ترسیم گردید (شکل ۱۴). آماره‌های خطای به همراه نمودار زمانی داده‌های بارش روزانه و داده‌های روزانه محاسبه شده با رابطه جدید در (جدول ۵ و شکل ۱۵) نمایش داده شده است.

جدول ۵. مقادیر آماره‌های خطای معادله پیش فرض و معادله کالیبیره شده برای داده‌های بارش روزانه  
 $Z = 281R^{1.6}$

پارامترهای آماری	$Z = 200R^{1.6}$	$Z = 281R^{1.6}$
ME	1/0.90	-0.1840
MAE	۳/۲۱۹	۲/۸۹۰
RMSE	۵/۲۳۵	۴/۴۵۲
MBE	۰/۸۹۲	۱/۱۰۳



شکل ۱۶. تغییرات مقادیر بارش ایستگاه شوشتار و بارش رادار اصلاح شده با استفاده از

$$\text{رابطه } Z = 247.43R^{1.6}$$

علاوه بر رگبار مقادیر ضریب اریبی برای داده‌های بارش روزانه و میانگین روزانه نیز محاسبه گردید. مقادیر این ضریب برای بارش های مذکور به ترتیب برابر با  $0.892$  و  $0.901$  می باشد. با اعمال این مقادیر در رابطه  $20$  روابطه کالیبره شده برای این داده‌ها ایجاد گردید. (جدوال  $7$  و  $9$ ) مقادیر آماره های خطای برای این معادلات را نمایش می دهد.

$$Z = 240.2R^{1.6}$$

بارش روزانه

$$Z = 236.3R^{1.6}$$

میانگین بارش روزانه

جدول ۷. مقادیر آماره های خطای معادله پیش فرض و معادله کالیبره شده رگبار از روش تعديل ضریب اریبی

پارامتر های آماری	$Z = 200R^{1.6}$	$Z = 243.95R^{1.6}$
ME	$-0.47$	$-0.00$
MAE	$0.251$	$0.231$
RMSE	$0.541$	$0.489$
MBE	$0.88$	$1.00$

جدول ۸ . مقادیر آماره های خطای معادله پیش فرض و معادله کالیبره شده بارش روزانه از روش تعديل ضریب اریبی

پارامتر های آماری	$Z = 200R^{1.6}$	$Z = 240.2R^{1.6}$
ME	$1.09$	$-0.00$
MAE	$3.219$	$2.917$
RMSE	$5.235$	$4.609$
MBE	$0.892$	$1.00$

جدول ۹. مقادیر آماره های خطای معادله پیش فرض و معادله کالیبره شده میانگین بارش روزانه از روش تعديل ضریب اریبی

پارامتر های آماری	$Z = 200R^{1.6}$	$Z = 236.3R^{1.6}$
ME	$-0.865$	$-0.00$
MAE	$1.706$	$1.245$
RMSE	$1.048$	$1.090$
MBE	$0.901$	$1.00$

در صورتی که محاسبه شبیه با استفاده از میانگین بارش روزانه صورت گیرد روابط  $16$  و  $17$  این مقادیر را برآورد خواهند کرد.

$$\bar{G}_j = \frac{1}{N} \sum_{i=1}^N g_{ij} \quad \text{رابطه } 16$$

$$\bar{R}_j = \frac{1}{N} \sum_{i=1}^N r_{ij} \quad \text{رابطه } 17$$

در این رابطه  $g_{ij}$  مقدار بارش روزانه ثبت شده در هر باران سنج،  $r_{ij}$  مقدار بارش روزانه ثبت شده در پیکسل تصویر رادار متناظر با موقعیت باران سنج،  $N$  تعداد باران سنج های مورد استفاده در منطقه و  $\bar{G}_j$  میانگین بارش روزانه باران سنج ها و  $\bar{R}_j$  میانگین بارش روزانه رادار می باشد.

مقدار شبیه خط رگرسیونی برآورده شده برای داده های میانگین بارش روزانه برابر  $0.877$  و پارامتر  $a$  اصلاح شده مطابق رابطه  $10$  برابر  $246.69$  می باشد. رابطه

$18$ ، رابطه کالیبره شده برای داده های میانگین بارش روزانه می باشد. همچنین در (جدول  $6$ ) خصوصیات آماری معادله جدید ارائه گردیده است.

$$Z = 246.69R^{1.6}$$

رابطه  $18$

جدول  $6$ . مقادیر آماره های خطای معادله پیش فرض و معادله کالیبره شده برای داده های میانگین بارش روزانه

پارامتر های آماری	$Z = 200R^{1.6}$	$Z = 246.69R^{1.6}$
ME	$-0.865$	$-0.210$
MAE	$1.706$	$1.217$
RMSE	$2.048$	$1.569$
MBE	$0.901$	$1.207$

### کالیبراسیون به روش تعديل ضریب اریبی

در کالیبراسیون رادار به روش تعديل ضریب اریبی ملاک، کاهش خطای مجموع بارش محاسباتی رادار و مجموع خطای بارش مشاهداتی بارانسنج می باشد. این روش کالیبراسیون به روش Storm total Adjustment نیز معروف می باشد و با رابطه زیر تشریح می گردد (Krajewski and Smith, 2002).

$$B = \frac{\sum_{i=1}^n G_i}{\sum_{i=1}^n R_i} \quad \text{رابطه } 19$$

در این رابطه  $G$  و  $R$  به ترتیب می تواند شامل مقادیر بارش بارانسنج ها و رادار در قالب داده های رگبار، ساعتی، روزانه و یا میانگین بارش روزانه تمامی ایستگاه باشد. با محاسبه این ضریب و اعمال آن بر معادله رادار و با فرض ثابت بودن پارامتر  $b$  می توان معادله جدیدی برای تخمین بارش از داده های رادار برآورد کرد(رابطه  $20$ ).

$$Z = aB^{-b}R^b$$

رابطه  $20$

با استفاده از رابطه  $19$  مقدار ضریب اریبی برای داده های بارش رادار اهواز محاسبه گردید. مقدار این پارامتر برای داده های رگبار تولید شده از رابطه پیش فرض رادار برابر با  $0.880$  می باشد که نشان دهنده تخمین بالاتر بارش توسط رادار نسبت به ایستگاه های بارانسنجی می باشد. براین اساس و با اعمال این ضریب در رابطه  $20$  معادله جدید  $Z-R$  به صورت زیر محاسبه می گردد.

$$Z = 243.95R^{1.6}$$

بارش رگبار

(شکل  $16$ ) تغییرات بارش ایستگاه شوشتار و بارش رادار تولید شده با رابطه  $Z = 247.43R^{1.6}$  را نمایش می دهد.

## کالیبراسیون به روش حداقل مجذور مربعات خطأ

پدید جذب و برخورد پرتوی رادار با ارتفاعات از جمله عوامل مهم در کاهش کیفیت داده‌های رادار اهواز می‌باشد که در این بررسی با توجه به مقاطع توپوگرافیکی ترسیم شده و معادلات ارتفاع نمونه‌برداری رادار، زاویه ارتفاعی ۰/۶۴۴ به عنوان زاویه حداقل بهینه حذف کامل پدیده پرتوهای مسدود شده رادار بر آورد گردید. بر اساس نتایج کالیبراسیون رادار به روش نموداری روابط شده رادار برآورد گردید.  $Z = 246.69R^{1.6}$   $Z = 382.23R^{1.6}$   $Z = 281R^{1.6}$   $Z = 382.23R^{1.6}$  به ترتیب برای رگبارها، بارش‌های روزانه و میانگین بارش روزانه به عنوان معادلات بهینه برآورد گردید. بررسی این روابط نشان می‌دهد بارش‌های تولید شده مبتنی بر این روابط دارای مقادیر خطای RMSE پائین‌تری در مقایسه با رابطه پایه ( $Z = 200R^{1.6}$ ) می‌باشند (جدول ۵، ۶).

در کالیبراسیون رادار به روش تعدیل ضریب اریبی، معادلات بهینه به ترتیب برای رگبارها، بارش‌های روزانه و میانگین بارش روزانه برابر با:  $Z = 243.95R^{1.6}$   $Z = 236.3R^{1.6}$   $Z = 240.2R^{1.6}$   $Z = 236.3R^{1.6}$  برآورد گردید.

مقایسه نتایج آماری دو روش کالیبراسیون نموداری و تعدیل ضریب اریبی نشان می‌دهد روش نموداری در مجموع باعث کاهش بیشتر خطای RMSE نسبت به کالیبراسیون به روش تعدیل ضریب اریبی می‌گردد (جدول ۱۶).

بررسی همزمان نتایج آماری تمامی روش‌های کالیبراسیون رادار و مقایسه آنها با رابطه پیش فرض رادار  $Z = 200R^{1.6}$  نشان می‌دهد (جدول ۱۶) تمامی تکنیک‌های مورد استفاده در این تحقیق باعث بهبود کیفیت داده‌های بارش رادار در مقایسه با رابطه اولیه شده است، بنابراین تمامی روابط نهایی انتخاب شده در انتهای هر روش کالیبراسیون صلاحیت لازم جهت استفاده در رادار را در مقایسه با معادله اولیه خواهد داشت. اما از میان این روش‌ها روش حداقل مجذور مربعات خطأ مبتنی بر تغییر هر دو پارامتر  $a$  و  $b$  در مقایسه با سایر روش‌ها نتایج بهتری را ایجاد می‌نماید. بررسی نتایج تمامی روش‌های کالیبراسیون استفاده شده نشان می‌دهد، روابط  $Z = 166R^2$  برای بارش رگبار،  $Z = 48R^2$  برای روزانه و  $Z = 165R^{1.7}$  برای میانگین بارش روزانه، دارای پایین‌ترین مقادیر خطأ در مقایسه با سایر روش‌های کالیبراسیون می‌باشد و در نهایت این روابط به عنوان روابطه بهینه از میان تمامی روش‌های کالیبراسیون انتخاب گردید (جدول ۱۶).

### سپاسگزاری

نگارنده‌گان این مقاله برخود لازم می‌دانند ضمن تشکر از همکاری سازمان هواسنجانی کشور و سازمان آب و برق خوزستان از زحمات آقایان مهندس عقبا، مهندس گلچین، مهندس ریحانی، مهندس سلطانی و مهندس محربی نژاد قدردانی نمایند.

جدول ۱۰. روابط بهینه و رابطه نهایی Z-R برای داده‌های رگبار بر اساس حداقل RMSE

معادله پایه	$b=1.4$	$b=1.5$	$b=1.6$	$b=1.7$	$b=1.8$	$b=1.9$	$b=2$	$b=2.1$	
آماره‌های خطأ	$200R^{1.6}$	$630R^{1.4}$	$480R^{1.5}$	$382R^{1.6}$	$305R^{1.7}$	$246R^{1.8}$	$201R^{1.9}$	$166R^2$	$138R^{2.1}$
ME	۰/۰۴۷	-۰/۱۳۰	-۰/۱۰۵	-۰/۰۸۷	-۰/۰۶۸	-۰/۰۵۲	-۰/۰۳۷	-۰/۰۲۵	-۰/۰۱۳
MAE	۰/۲۵۱	۰/۲۲۸	۰/۲۲۲	۰/۲۱۹	۰/۰۲۱۷	۰/۲۱۷	۰/۲۱۹	۰/۲۲۲	۰/۲۲۵
RMSE	۰/۵۴۱	۰/۴۶۸	۰/۴۵۶	۰/۴۴۷	۰/۴۴۱	۰/۴۳۷	۰/۴۳۵	۰/۴۳۵	۰/۴۳۷
MBE	۰/۸۸	۱/۵۸	۱/۴۲	۱/۳۲	۱/۲۴	۱/۱۷	۱/۱۲	۱/۰۸	۱/۰۴
R <sup>2</sup>	۰/۵۵۲۳	۰/۵۰۸۳	۰/۵۳۴۰	۰/۵۵۲۳	۰/۵۶۴۴	۰/۵۷۱۶	۰/۵۷۴۸	۰/۵۷۵۰	۰/۵۷۲۸

### نتیجه گیری

بررسی عوامل ایجاده کننده عدم قطعیت در داده‌های بارش رادار اهواز نشان داد پدیده میرایی موج در مورد رادار اهواز به دلیل فرکانس عملیاتی ۲/۹-۲/۷ این رادار (باند S) تاثیر چندانی بر کاهش کیفیت داده‌های رادار ندارد.

جدول ۱۱. روابط بهینه و رابطه نهایی Z-R برای داده‌های روزانه بر اساس حداقل RMSE

معادله پایه	b=1.4	b=1.5	b=1.6	b=1.7	b=1.8	b=1.9	b=2	b=2.1
آماره های خطای	$200R^{1.6}$	$710R^{1.4}$	$444R^{1.5}$	$281R^{1.6}$	$179R^{1.7}$	$115R^{1.8}$	$74R^{1.9}$	$48R^2$
ME	1.090	-۰/۵۹۲	-۰/۱۸۲	-۰/۸۴۰	-۰/۵۳۸	-۰/۲۸۴	-۰/۰۴۴	۰/۱۵۵
MAE	3.219	۳/۱۹۵	۳/۰۰۷	۲/۸۹۰	۲/۸۲۶	۲/۸۱۷	۲/۸۶۴	۲/۹۳۳
RMSE	5.235	۴/۹۵۶	۴/۶۶۶	۴/۴۵۲	۴/۳۰۴	۴/۲۱۳	۴/۱۶۷	۴/۱۵۹
MBE	0.892	۱/۲۱۵	۱/۱۵۱	۱/۱۰۳	۱/۰۶۴	۱/۰۳۳	۱/۰۰	۰/۹۸۲
R <sup>2</sup>	0.734	۰/۶۷۱	۰/۷۰۸	۰/۷۳۴	۰/۷۵۲	۰/۷۶۲	۰/۷۶۷	۰/۷۶۸

جدول ۱۲. روابط بهینه و رابطه نهایی Z-R برای داده‌های میانگین بارش روزانه بر اساس حداقل RMSE

معادله پایه	b=1.4	b=1.5	b=1.6	b=1.7	b=1.8	b=1.9	b=2	
آماره های خطای	$200R^{1.6}$	$558R^{1.4}$	$370R^{1.5}$	$247R^{1.6}$	$165R^{1.7}$	$111R^{1.8}$	$75R^{1.9}$	$51R^{2.1}$
ME	۰/۸۶۵	-۰/۸۴۸	-۰/۴۱۱	-۰/۲۱۰	-۰/۰۳۱	۰/۱۱۶	۰/۲۳۸	۰/۳۳۰
MAE	۱/۷۰۶	۱/۲۹۱	۱/۱۹۷	۱/۲۱۷	۱/۲۵۹	۱/۳۱۴	۱/۳۷۷	۱/۴۸۵
RMSE	۲/۰۴۸	۱/۸۳۱	۱/۶۶۰	۱/۵۶۹	۱/۵۴۹	۱/۵۸۵	۱/۶۵۷	۱/۷۵۳
MBE	۰/۹۰۱	۱/۰۹۰	۱/۰۵۵	۱/۰۲۷	۱/۰۰۴	۰/۹۸۶	۰/۹۷۱	۰/۹۶۰
R <sup>2</sup>	۰/۹۱۴	۰/۸۸۱	۰/۹۰۲	۰/۹۱۴	۰/۹۱۵	۰/۹۱۱	۰/۹۰۳	۰/۸۹۲

جدول ۱۳. روابط بهینه و رابطه نهایی Z-R برای داده‌های رگبار بر اساس ضریب اریبی ۱ (B=1) و شرط حداقل RMSE

معادله پایه	b=1.4	b=1.5	b=1.6	b=1.7	b=1.8	b=1.9	b=2	b=2.1
آماره های خطای	$200R^{1.6}$	$332R^{1.4}$	$283R^{1.5}$	$244R^{1.6}$	$212R^{1.7}$	$185R^{1.8}$	$162R^{1.9}$	$143R^2$
ME	۰/۰۴۷	۰/۰۰۰	۰/۰۰۰	۰/۰۰۰	۰/۰۰۰	۰/۰۰۰	۰/۰۰۰	۰/۰۰۰
MAE	۰/۲۵۱	۰/۲۴۶	۰/۲۳۷	۰/۲۳۱	۰/۲۲۸	۰/۲۲۶	۰/۲۲۶	۰/۲۲۷
RMSE	۰/۴۵۱	۰/۵۸۱	۰/۵۲۶	۰/۴۸۹	۰/۴۶۴	۰/۴۵۰	۰/۴۴۲	۰/۴۳۸
MBE	۰/۸۸	۱/۰۰	۱/۰۰	۱/۰۰	۱/۰۰	۱/۰۰	۱/۰۰	۱/۰۰
R <sup>2</sup>	۰/۵۵۲۳	۰/۵۰۸۳	۰/۵۳۴۰	۰/۵۵۲۳	۰/۵۶۴۴	۰/۵۷۱۶	۰/۵۷۴۸	۰/۵۷۵۰

جدول ۱۴. روابط بهینه و رابطه نهایی Z-R برای داده‌های بارش روزانه بر اساس ضریب اریبی ۱ (B=1) و شرط حداقل RMSE

معادله پایه	b=1.4	b=1.5	b=1.6	b=1.7	b=1.8	b=1.9	b=2	b=2.1
آماره های خطای	$200R^{1.6}$	$541R^{1.4}$	$360R^{1.5}$	$240.2R^{1.6}$	$161.3R^{1.7}$	$109R^{1.8}$	$73R^{1.9}$	$50R^2$
ME	۱/۰۹۰	-۰/۰۰۶	-۰/۰۱۰	-۰/۰۰۳	-۰/۰۰۴	-۰/۰۰۸۰	-۰/۰۰۵	-۰/۰۰۹
MAE	۳/۲۱۹	۳/۱۸۲	۳/۰۲۷	۲/۹۱۷	۲/۸۶۱	۲/۸۵۰	۲/۸۷۰	۲/۹۰۵
RMSE	۵/۲۳۵	۵/۵۲۸	۴/۹۸۱	۴/۶۰۹	۴/۳۶۸	۴/۲۲۹	۴/۱۶۸	۴/۱۶۲
MBE	۰/۸۹۲	۱/۰۰	۱/۰۰	۱/۰۰	۱/۰۰	۱/۰۰	۱/۰۰	۱/۰۰
R <sup>2</sup>	۰/۷۳۴	۰/۶۷۱	۰/۷۰۸	۰/۷۳۴	۰/۷۵۲	۰/۷۶۲	۰/۷۶۷	۰/۷۶۸

جدول ۱۵. روابط بینیه و رابطه نهایی Z-R برای داده‌های بارش میانگین روزانه بر اساس ضریب اریبی ۱ (B=1) و شرط حداقل RMSE

معادله پایه	b=1.4	b=1.5	b=1.6	b=1.7	b=1.8	b=1.9	b=2
آماره های خطای آماره های خطای	$200R^{1.6}$	$495R^{1.4}$	$341.5R^{1.5}$	$236.3R^{1.6}$	$164R^{1.7}$	$114R^{1.8}$	$79.4R^{1.9}$
ME	-0.865	-0.001	-0.001	-0.001	-0.002	-0.002	-0.003
MAE	1/706	1/448	1/321	1/245	0/264	1/292	1/383
RMSE	2/048	2/013	1/736	1/590	1/550	0/588	1/674
MBE	0/901	1/000	1/000	1/000	1/000	1/000	1/000
R <sup>2</sup>	0/914	0/883	0/904	0/914	0/916	0/912	0/904

جدول ۱۶. نتایج نهایی روش‌های مختلف کالیبراسیون داده‌های رادار اهواز

معادله پایه	ضرایب a و b متغیر		ضریب a متغیر و b ثابت	
	RMSE	روش حداقل	ضریب اریبی ۱	روش نموداری
داده‌های رگبار	$Z = 200R^{1.6}$	$Z = 166R^2$	$Z = 143.5R^2$	$Z = 382.23R^{1.6}$
RMSE	0/541	0/425	0/438	0/447
بارش روزانه	$Z=200R^{1.6}$	$Z = 48R^2$	$Z = 49.7R^2$	$Z = 281R^{1.6}$
RMSE	5/235	4/159	4/162	452/4
میانگین بارش روزانه	$Z = 200R^{1.6}$	$Z = 165 R^{1.7}$	$Z = 164 R^{1.7}$	$Z = 246.69 R^{1.6}$
RMSE	2/048	1/549	1/550	1/569
				$Z = 236.3R^{1.6}$

#### منابع

- طوفانی نژادز.، کمالی. غ.، علیزاده. م.، ۱۳۸۸، کاربرد رادارهای هواشناسی باند X در برآورد میزان بارندگی در حوضه‌های کوچک، مجله آب و خاک، جلد ۲۳، شماره ۱، ص. ۴۷-۵۷.
- Anagnostou. EN, Krajewski. WF, Smith JA, 1999, Uncertainty quantification of mean-area radar rainfall estimates, J Atmos Oceanic Technol, Vol: 16, p206-215
- Andrieu. H., and J.D. Creutin., 1995, Identification of vertical profiles of radar reflectivity for hydrological applications using an inverse method, J. Appl. Meteorol, Vol: 34, p 225-239
- Austin. P.M., 1987, Relation between measured radar reflectivity and surface rainfall, Mon, Weather Rev., Vol: 115, p 1053-1070
- Battan. LJ. 1973, Radar observation of the atmosphere, University of Chicago Press, Chicago.
- Brandes. E. A., G. F. Zhang., and J. Vivekanandan., 2004, Drop size distribution retrieval with polarimetric radar: Model and application, J Appl Meteorol, Vol: 43, p 461-475
- Chumchean. S., 2004, Improved Estimation of Radar Rainfall for Use in Hydrological Modelling. Ph.D. thesis, University of New South Wales
- Collier. C. G, 1996, Applications of weather radar systems: A guide to uses of radar data in meteorology and hydrology, John Wiley & Sons, New York, USA.
- Doviak. R.J., and D.S. Zrnic., 1984, Doppler radar and weather observations, Academic Press, Orlando, Florida, U.S.A .
- Gabella. M., and G. Perona., 1998, Simulation of the orographic influence on weather radar using a geometric-optics approach, J. Atmos. Oceanic Tech., Vol: 15, No: 6, p1485-1494.
- Gray W. and Larsen. H., 2004, Radar Rainfall Estimation in the New Zealand Context, Sixth International Symposium on Hydrological Applications of Weather Radar, Melbourne, Australia.
- Hildebrand. P.H., 1978, Iterative correction for attenuation of 5 cm radar, J. Appl. Meteorol., Vol: 17, p 508-514
- Hitschfeld. W., and Bordan, J., 1954, Errors inherent in the radar measurement of rainfall at attenuating wavelengths, J. Meteorology Vol: 11, p 58-67
- Holleman. I., 2007, Bias adjustment and long-term verification of radar-based precipitation estimates. Meteorol Appl, Vol: 14, p 195-203
- Jordan. P.W., 2000, Effect on flood modeling of rainfall variability and radar rainfall measurement error, Unpublished PhD thesis, Faculty of Engineering, Monash University, Clayton, Victoria.
- Kitchen. M., R. Brown, and A. Davies., 1994, Real-time correction of weather radar data for the effects of bright band, range and orographic growth in widespread precipitation, Q. J. R. Meteorol. Soc., Vol: 120, p 231- 254
- Krajewski. WF, Smith. JA, 2002, Radar hydrology: rainfall estimation, Adv. Water Resour, Vol: 25: p 1387-1394

- Lee. G., and L. Zawadzki., 2006, Radar calibration by gage, disdrometer, and polarimetry: Theoretical limit caused by the variability of drop size distribution and application to fast scanning operational radar data, *J. Hydrol.*, Vol:328,p 83–97
- Linsley., R.K., Kohler. M.A and Paulhus. J.L.H., 1988, *Hydrology for Engineers*, McGraw-Hill, London, UK.
- Lombardo. F., Napolitano. F., Russo. F., Scialanga. G., Baldini. L. and Gorgucci. E., 2006, Rainfall estimation and ground clutter rejection with dual polarization weather radar, *Advances in Geosciences*, Vol: 7, p: 127–130
- Mapiam. P., 2008, Climatological Z-R relationship for radar rainfall estimation in the upper Ping river basin, *ScienceAsia*, Vol: 34, p 215–222
- Marshall. J.S., and W. Palmer., 1948, The distribution of raindrops with size. *J.Meteorol.*, Vol: 5, p 165–166
- Ramli. S., 2011, Radar Hydrology: New Z/R Relationships for Klang River Basin, Malaysia, International Conference on Environment Science and Engineering, Vol: 8, p 248-251
- Rosenfeld. D., Wolff. D. B., and Atlas, D., 1993, General probability matched relations between radar reflectivity and rain rate, *J.Appl. Meteorol.*, Vol:32,p 50–72
- Seed. A.W., Sirivardena. L., Sun. X., Jordan. P., Elliott. J., 2002, On the calibration of Australian weather radars, Cooperative Research Centre for Catchment Hydrology, Technical Report, 02/7,p 40
- Smith. J.A., Krajewski. W.F., 1991, Estimation of mean field bias of radar rainfall estimates, *J. Appl. Meteorol.*, Vol: 30, p 397–411
- Steiner. M., Smith. JA. Burges. SJ. Alonso CV., Darden RW., 1999, Effect of bias adjustment and rain gauge data quality control on radar rainfall estimation. *Water Resour Res*, Vol: 35, p 2487–503
- Uijlenhoet. R., 2001, Raindrop size distributions and radar reflectivity rain rate relationships for radar hydrology, *Hydrology Earth System*, Vol: 5, p: 615-627
- Uijlenhoet. R., Wielen. S.H., van der and Berne. A., 2006, Uncertainties in rainfall retrievals from ground based weather radar: overview, case study, and simulation experiment, *Hydrol. Earth Syst. Sci. Discuss.*, Vol: 3, p 2385– 2436
- Ulbrich. C.W. and N.E. Miller., 2001, Experimental test of the effects of Z–R law variations on comparison of WSR-88D rainfall amounts with surface rain gauge and disdrometer data. *Weather Forecast.* Vol: 16, p 369–374
- Van Vleck. JH, 1947, Absorption of microwaves by oxygen. *Phys. Rev.* Vol: 71, p 413–24
- Vignal. B, Krajewski.WF, 2001, Large-sample evaluation of two methods to correct range-dependent error for WSR-88D rainfall estimates, *J. Hydrometeorol.*, Vol: 2, p 490–504